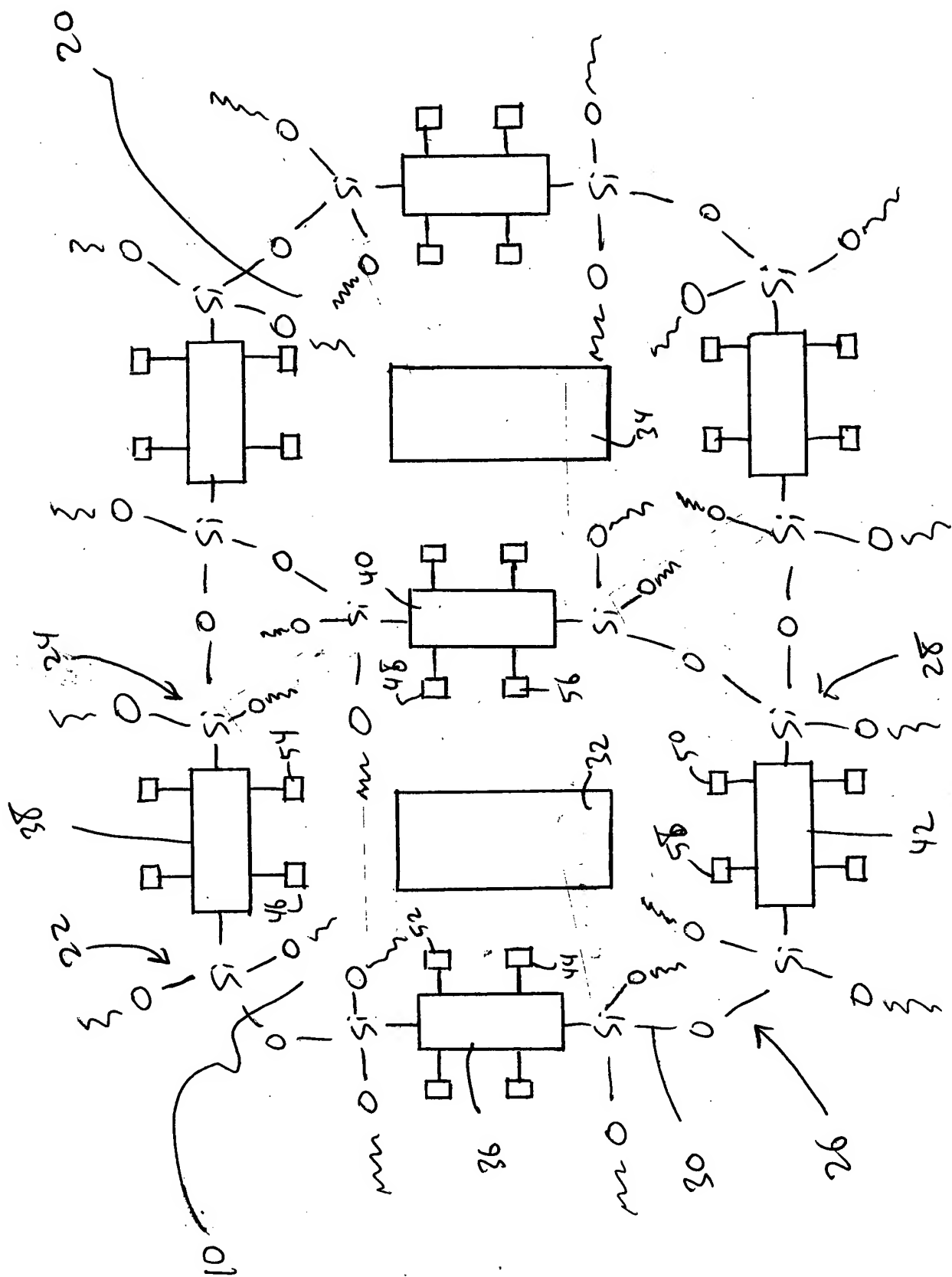
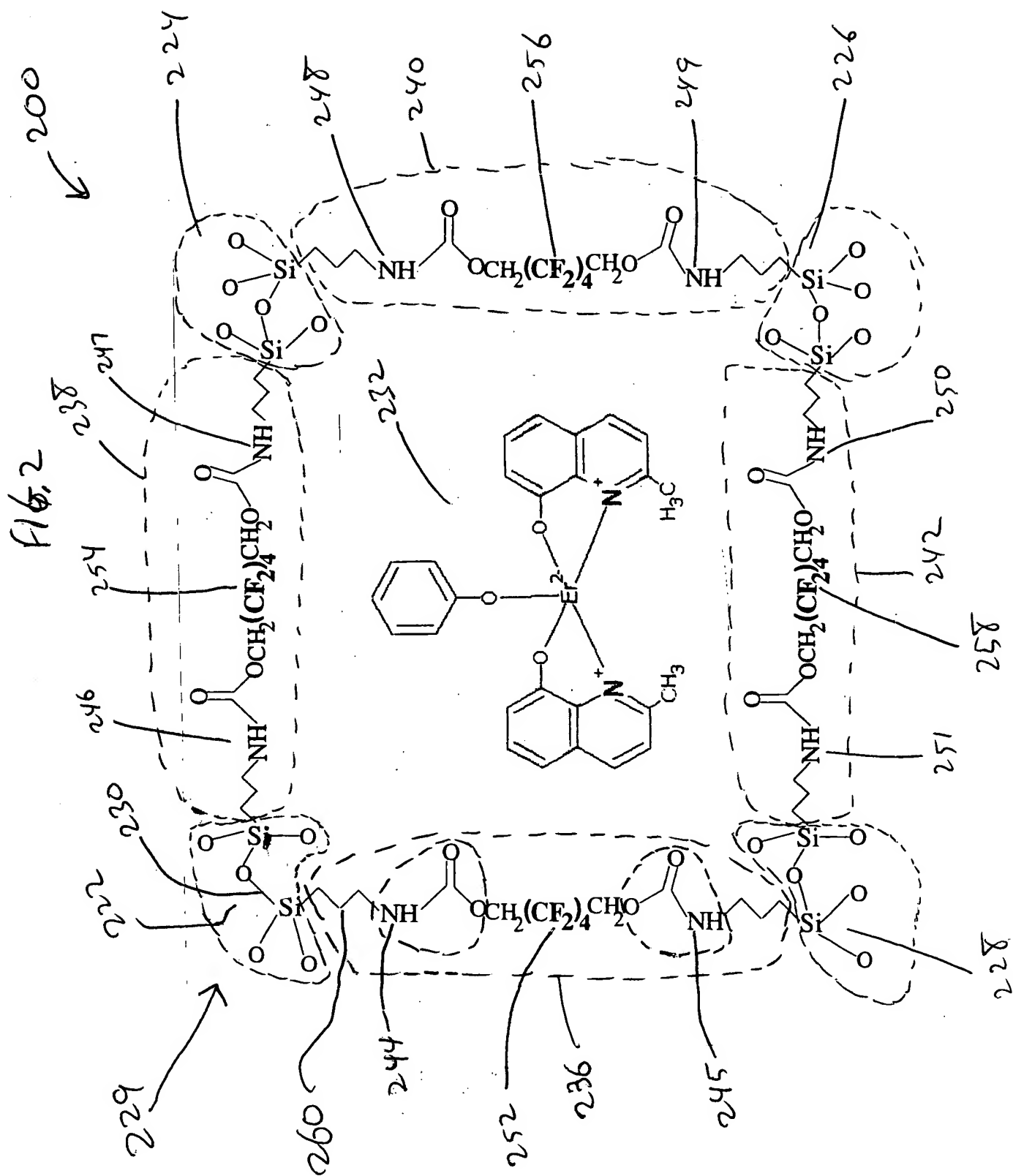


FIG. 1





f16.3

300

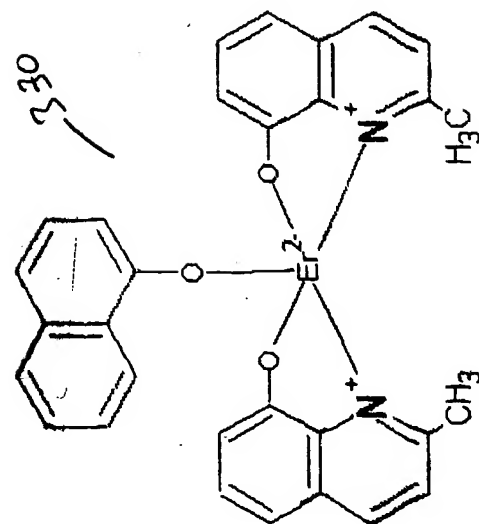
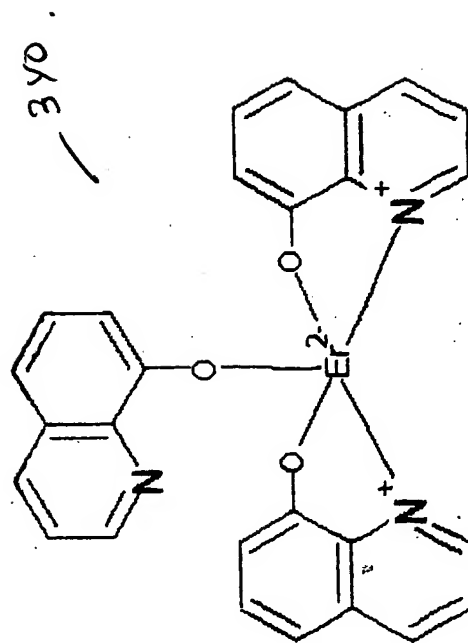
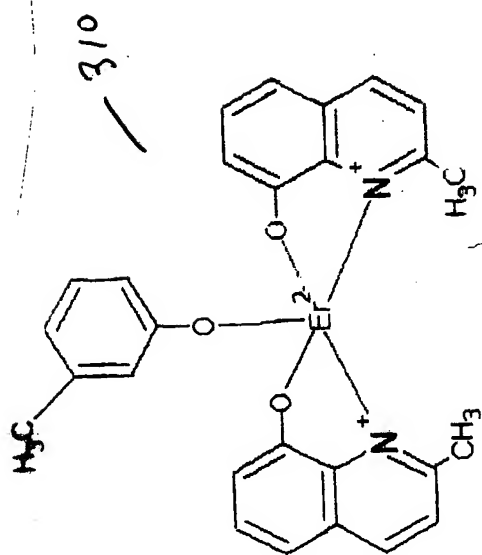
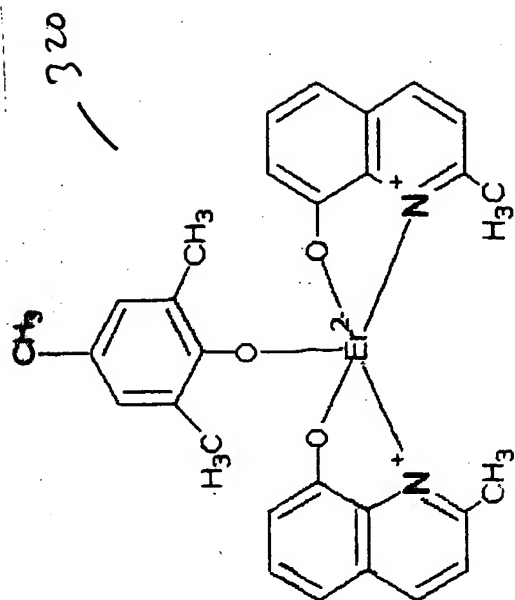


FIG. 4

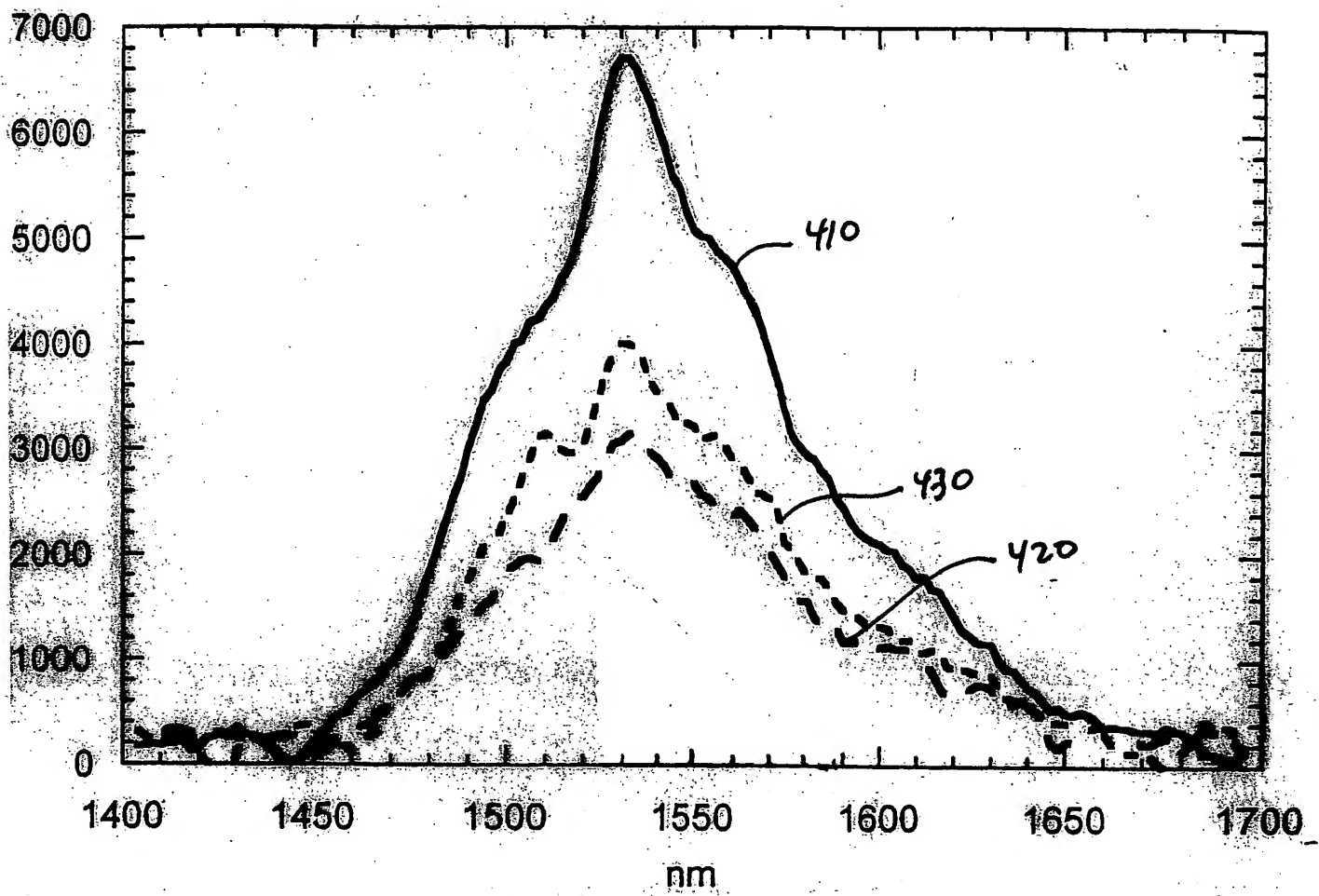


FIG. 5

500  
↙

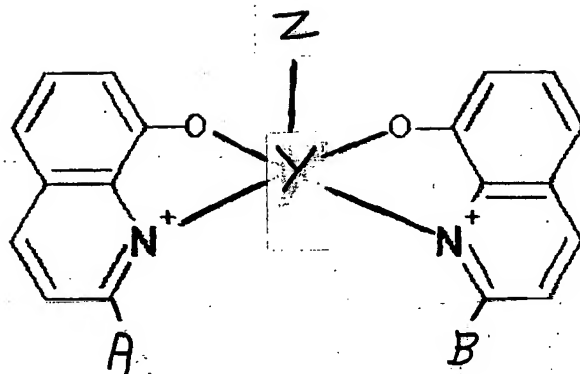


FIG. 6

600  
↙

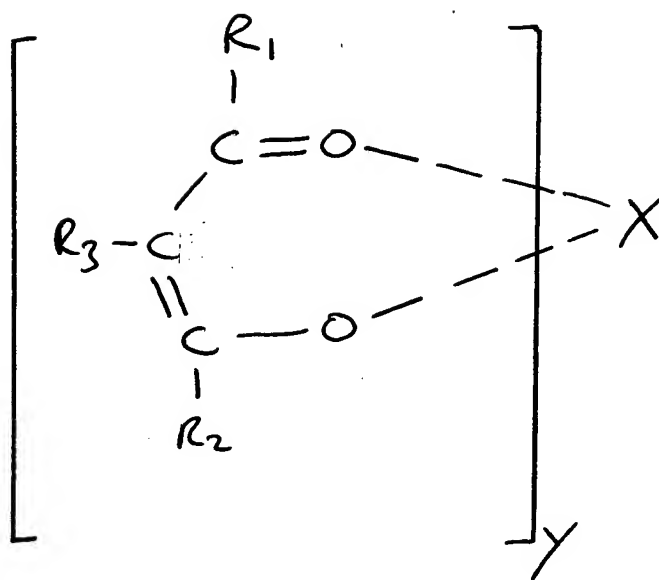


FIG. 7

700

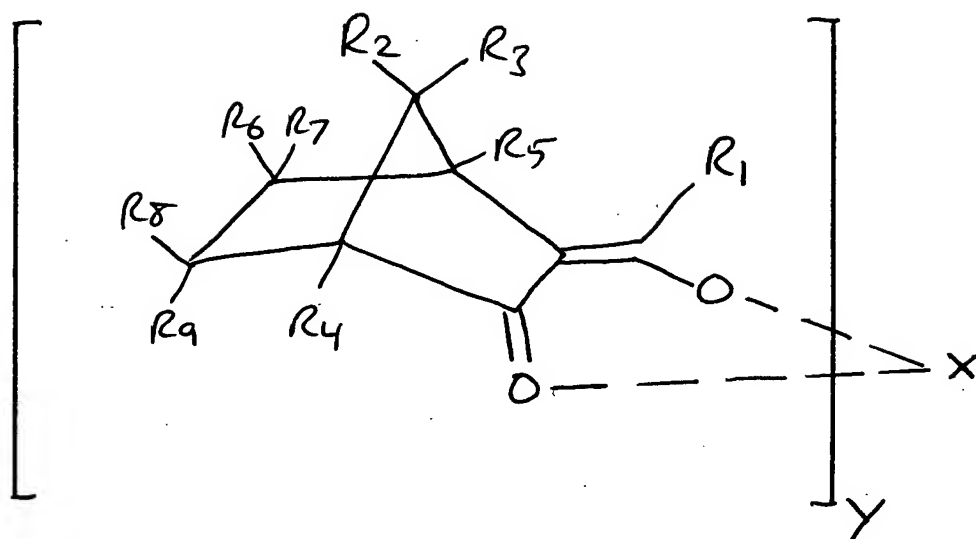


FIG. 8

800

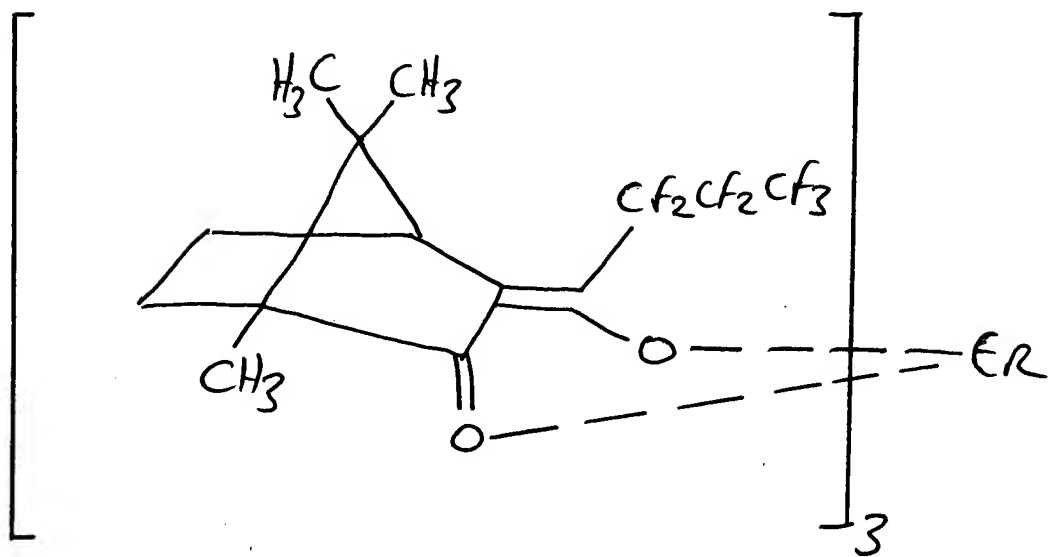


Fig. 9

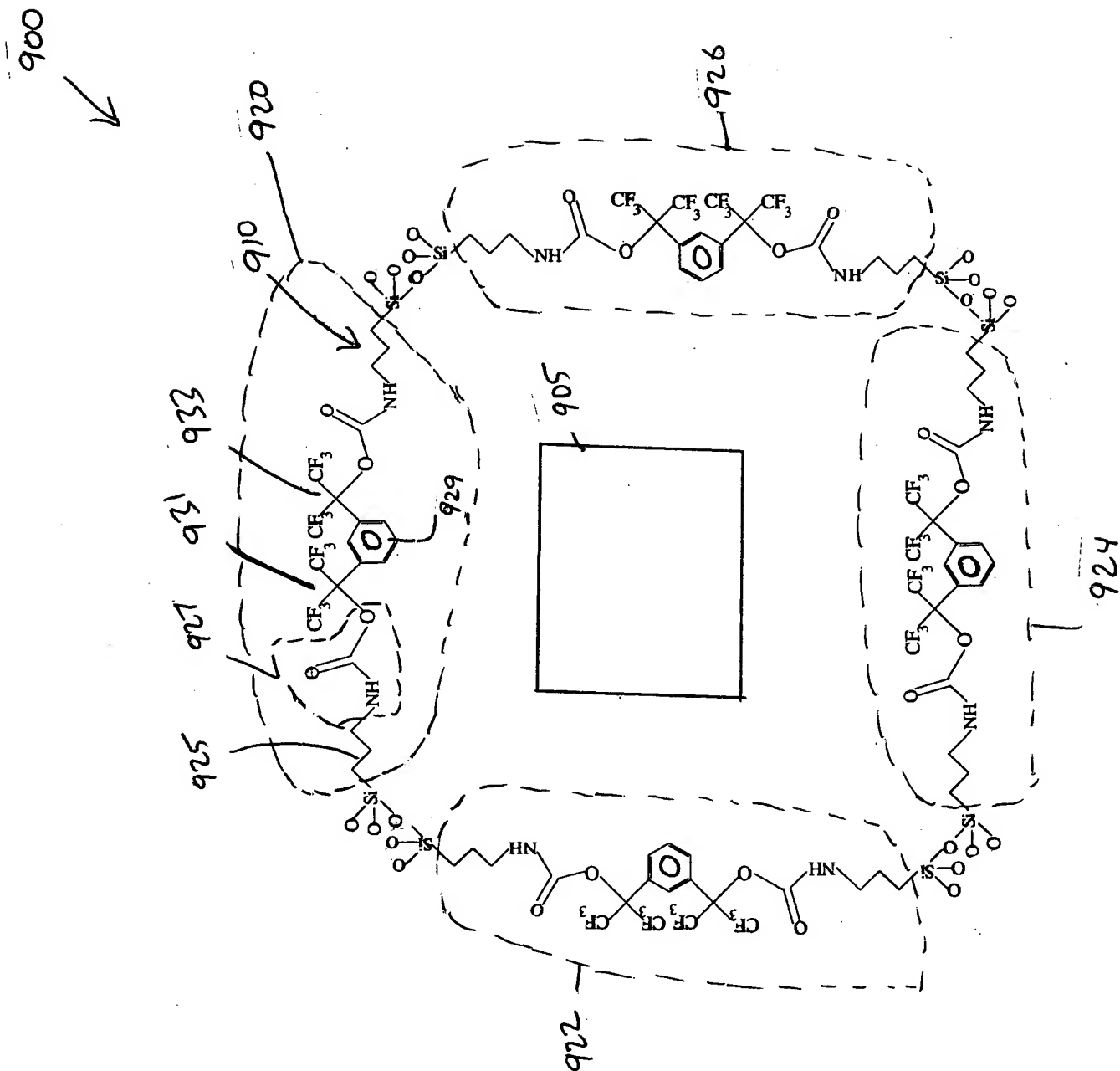
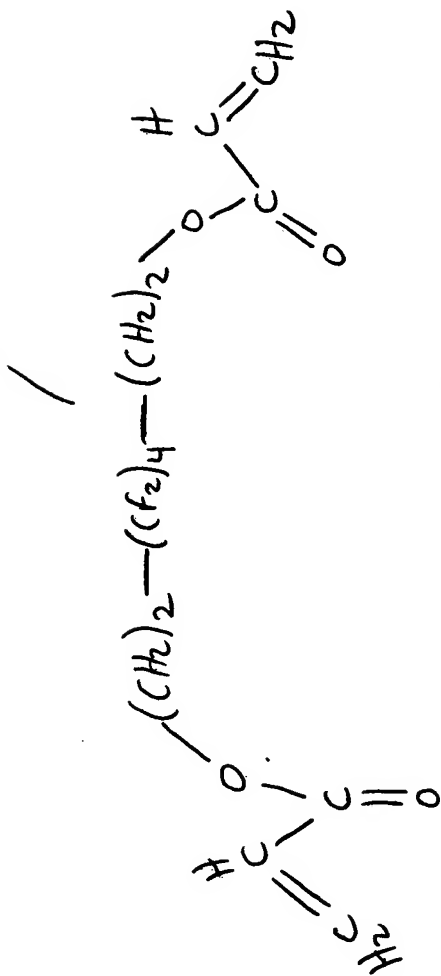


FIG. 10

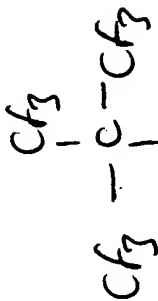
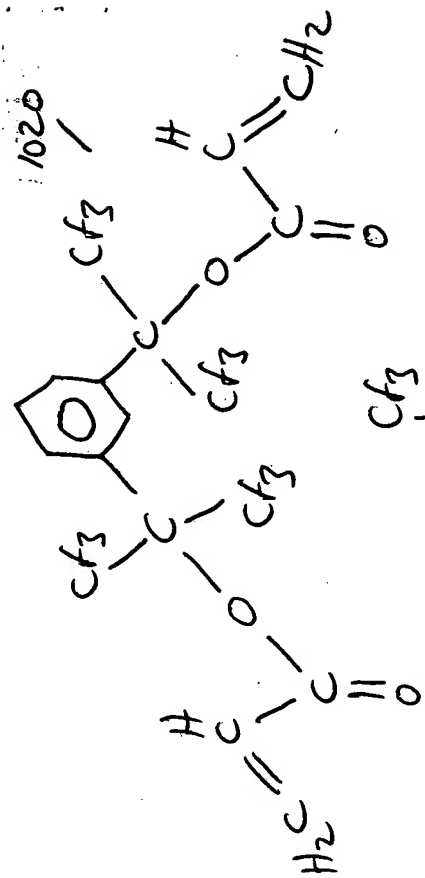
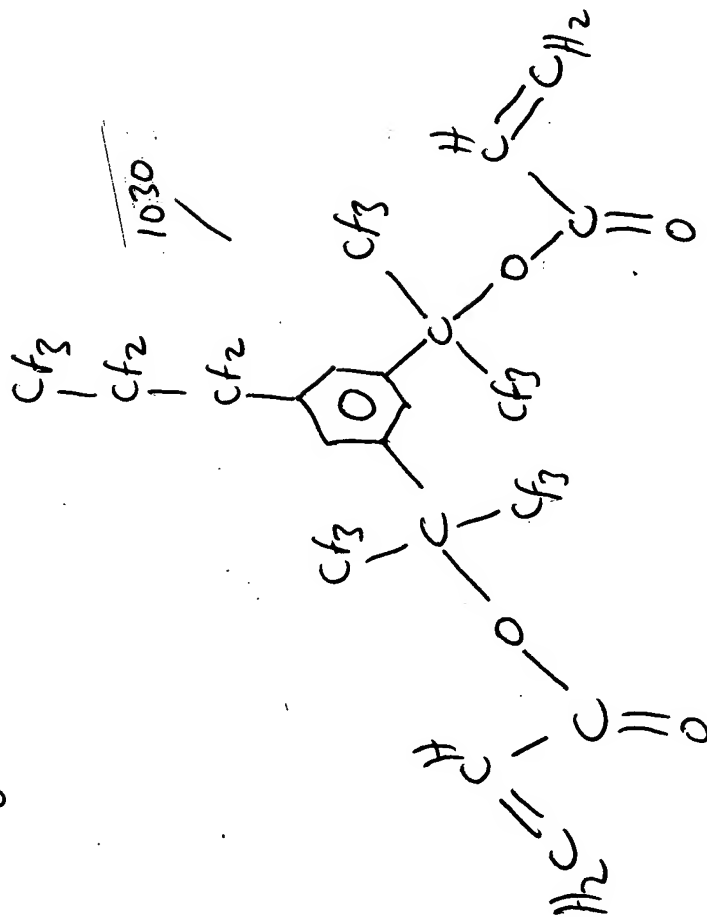
1000



1010



1030



1040

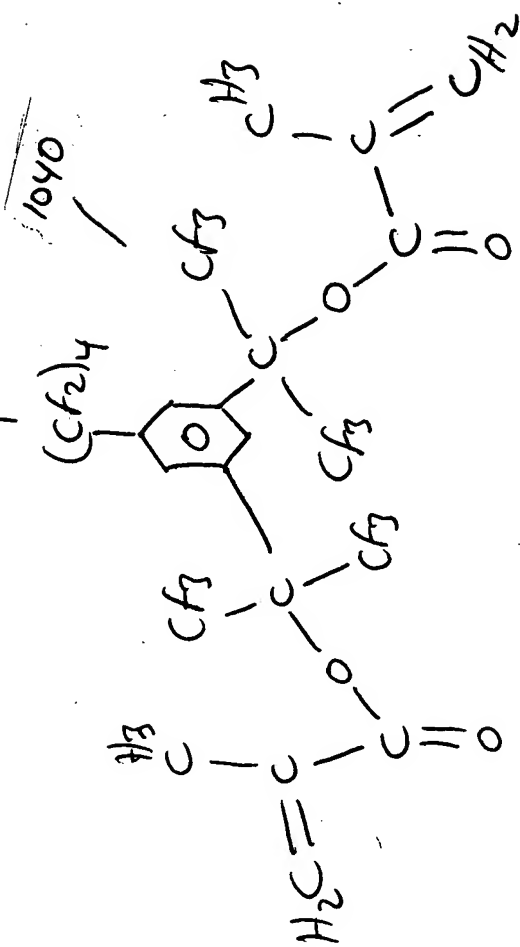




FIG. 11

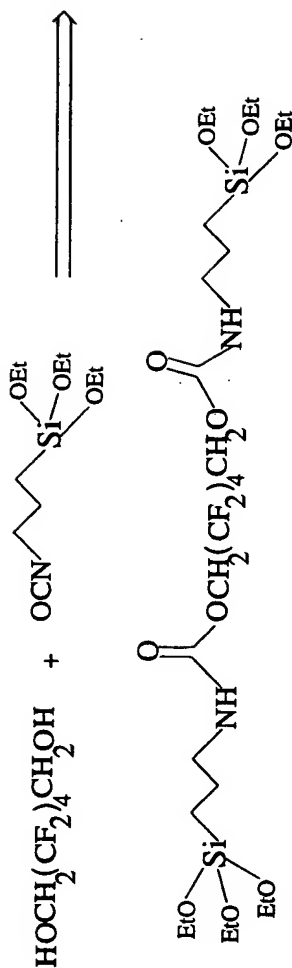


FIG. 12

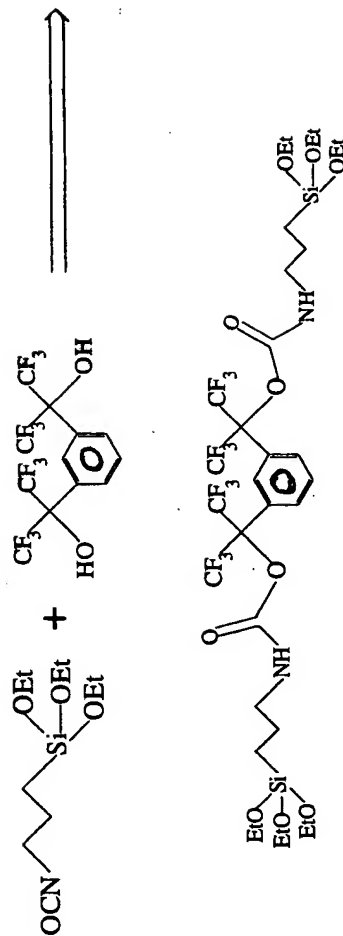


Fig. 13

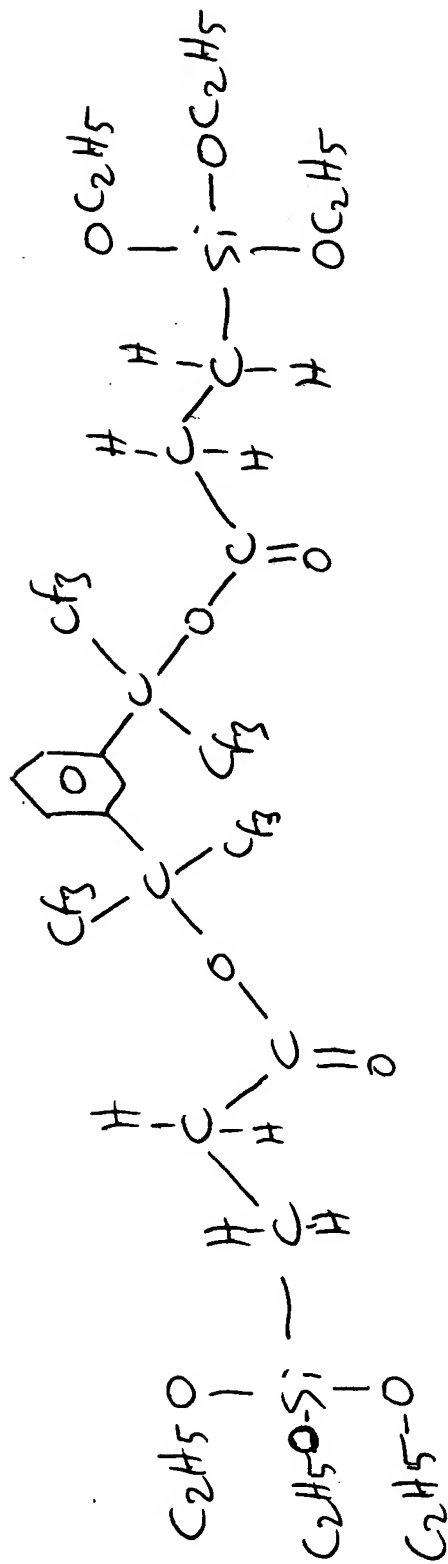
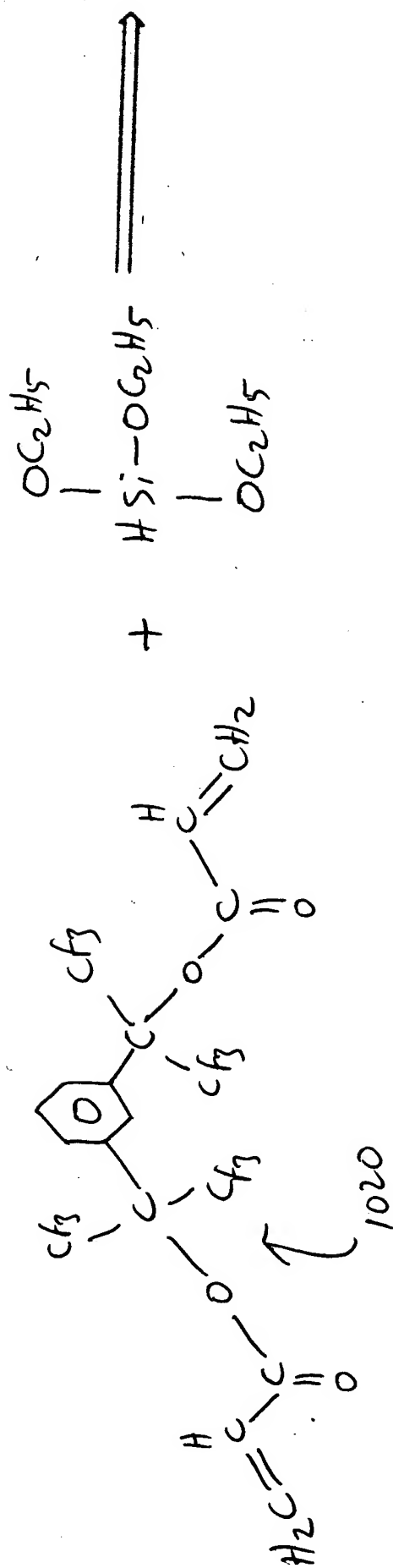
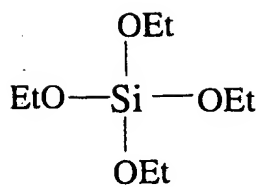
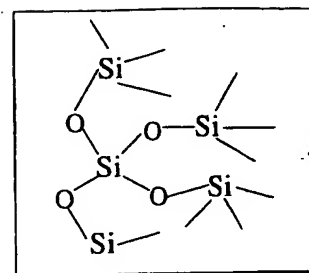


FIG. 14

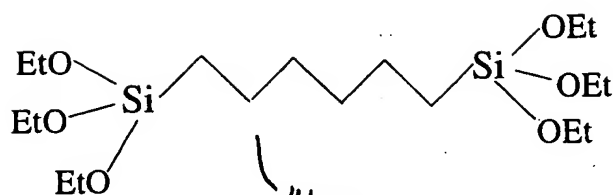
1400



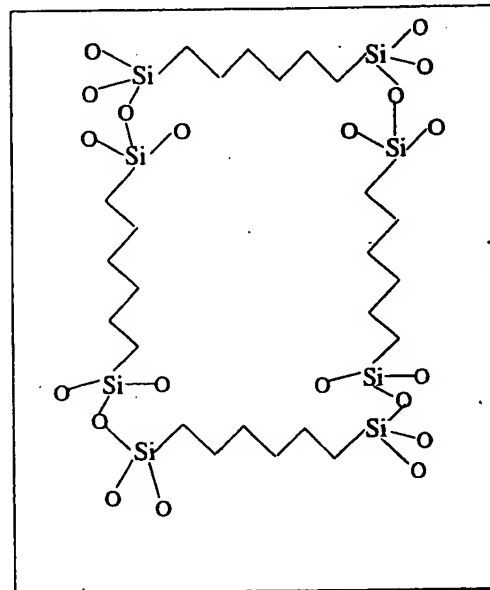
1410



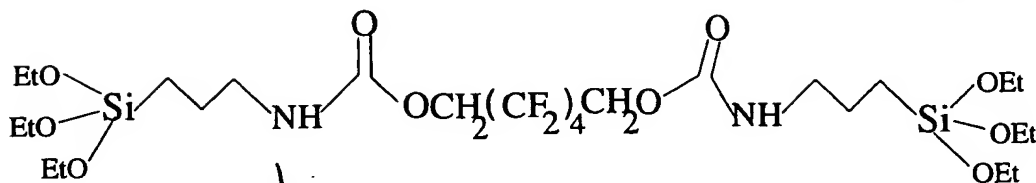
1440



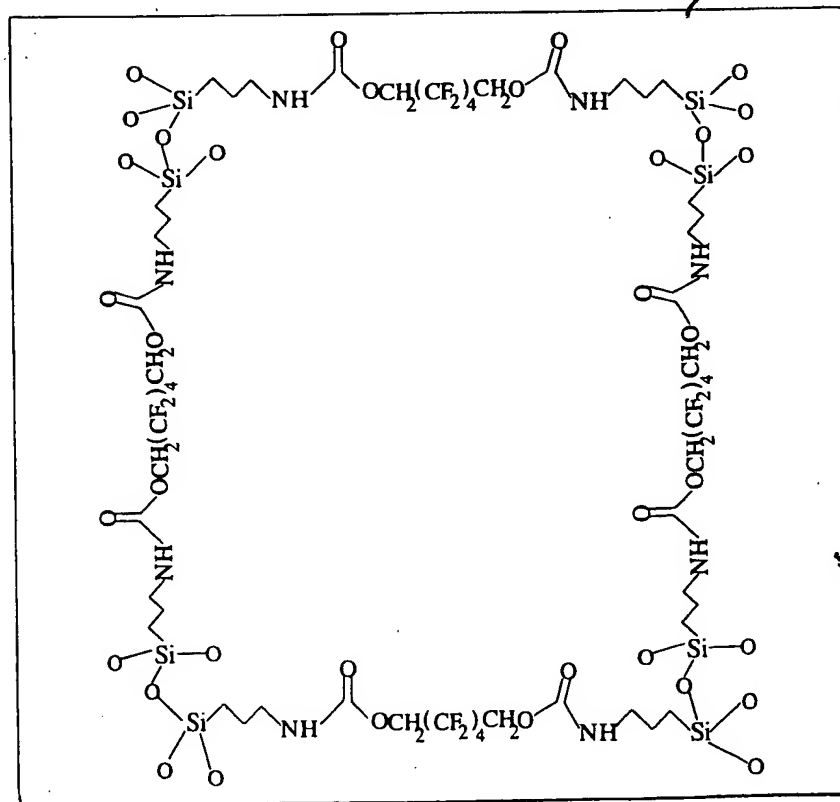
1420



1450



1430



1460

FIG. 15

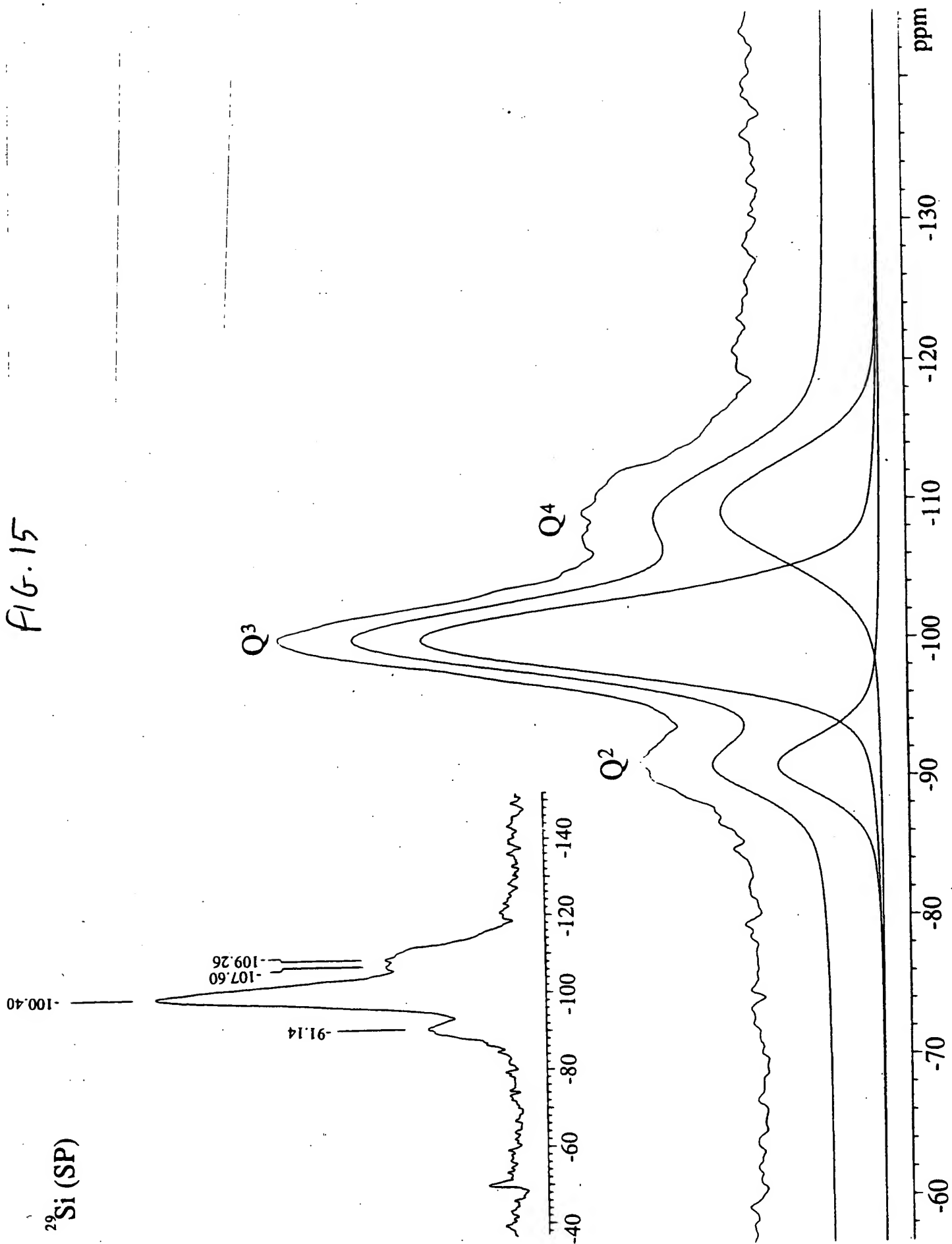


Fig. 16

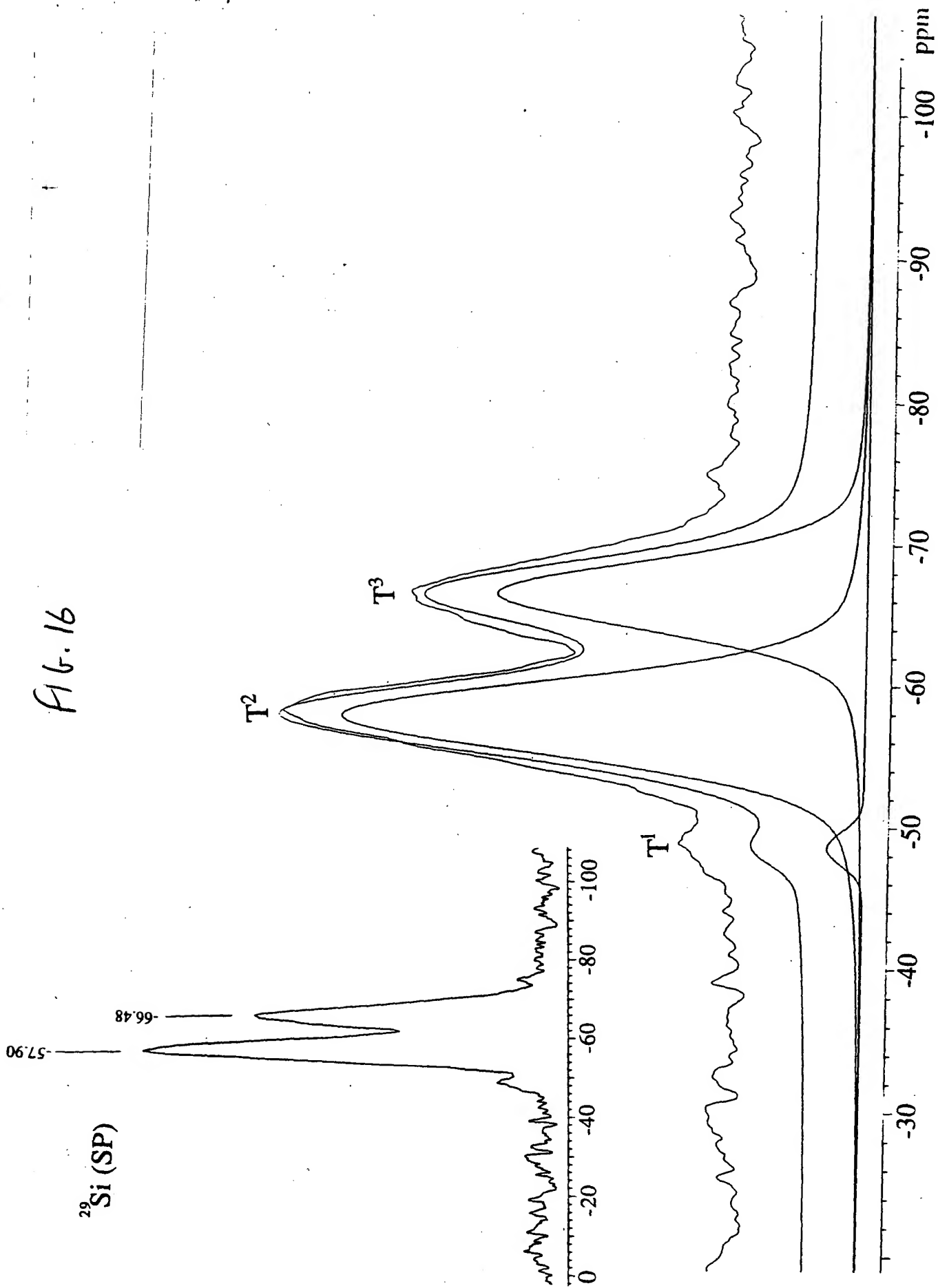


FIG. 17

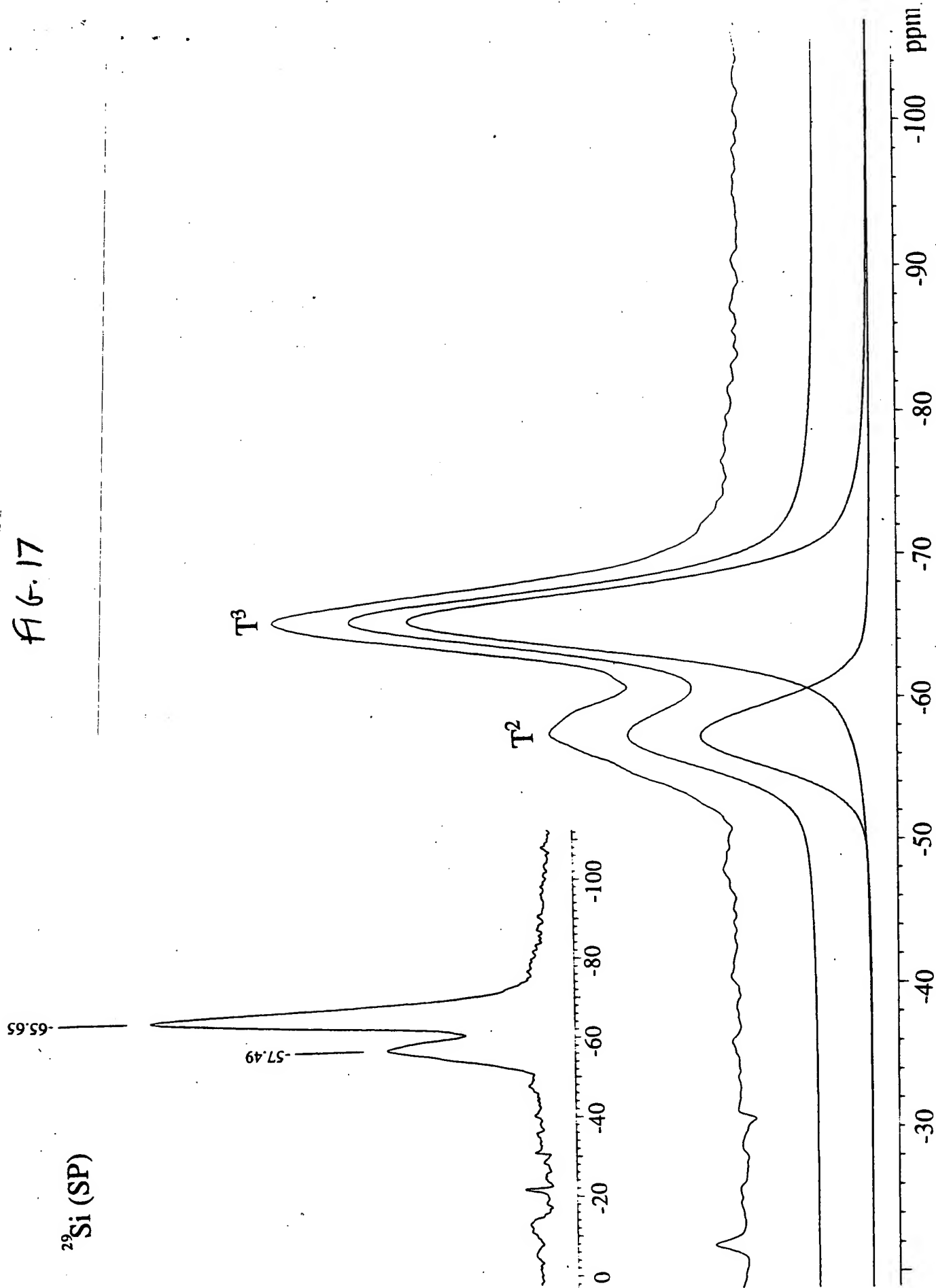


FIG. 18

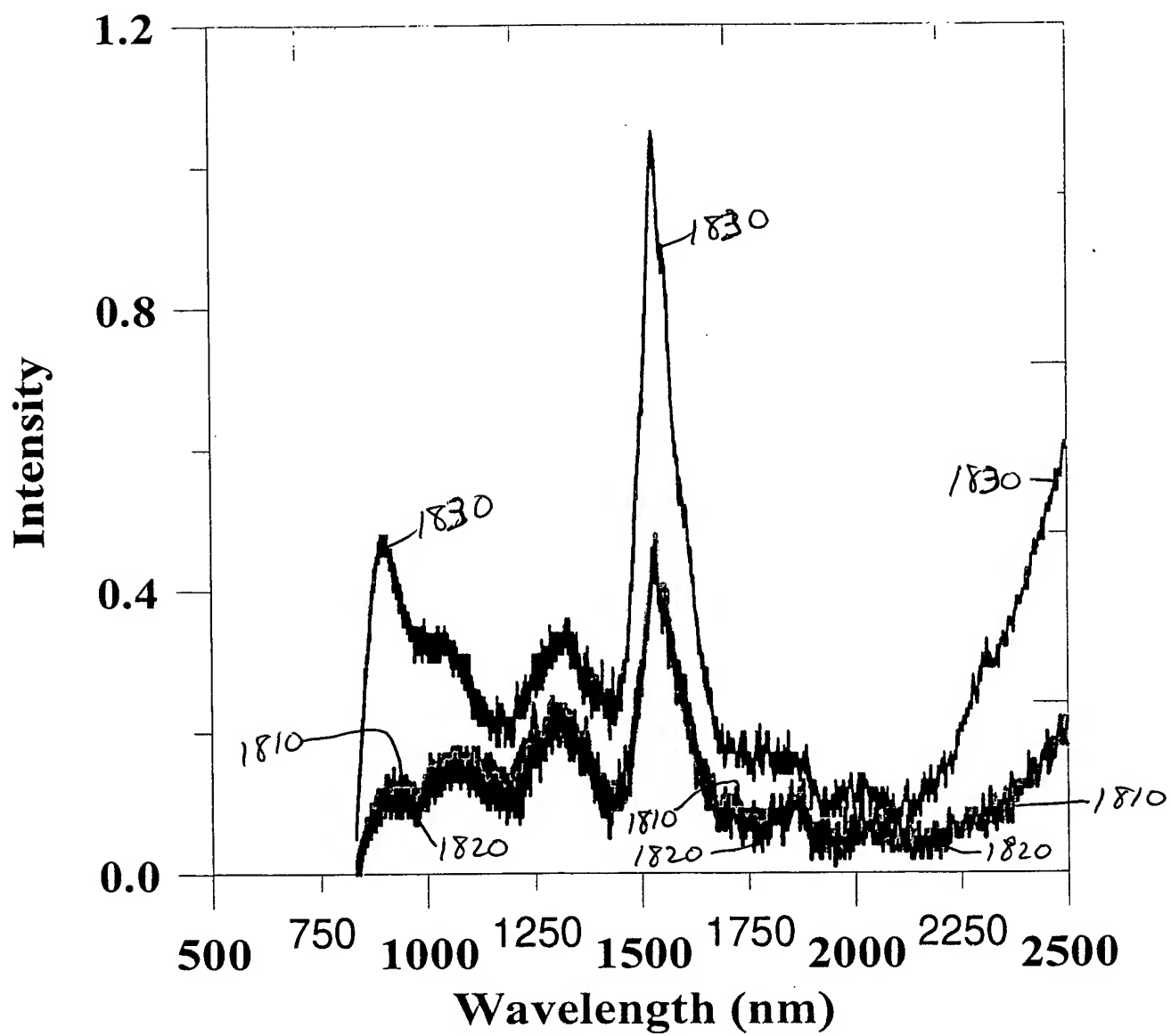


FIG. 19

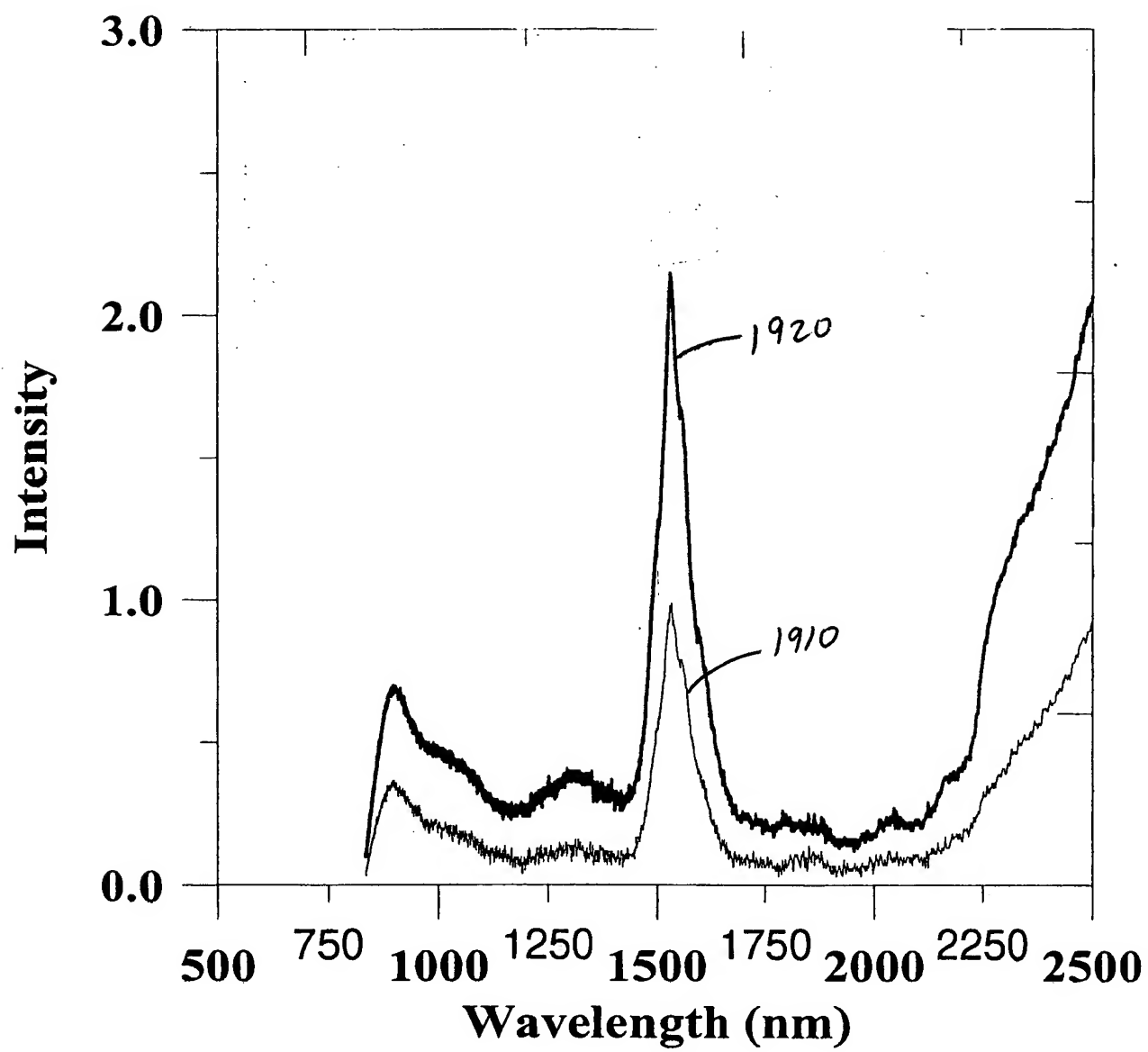




FIG. 20

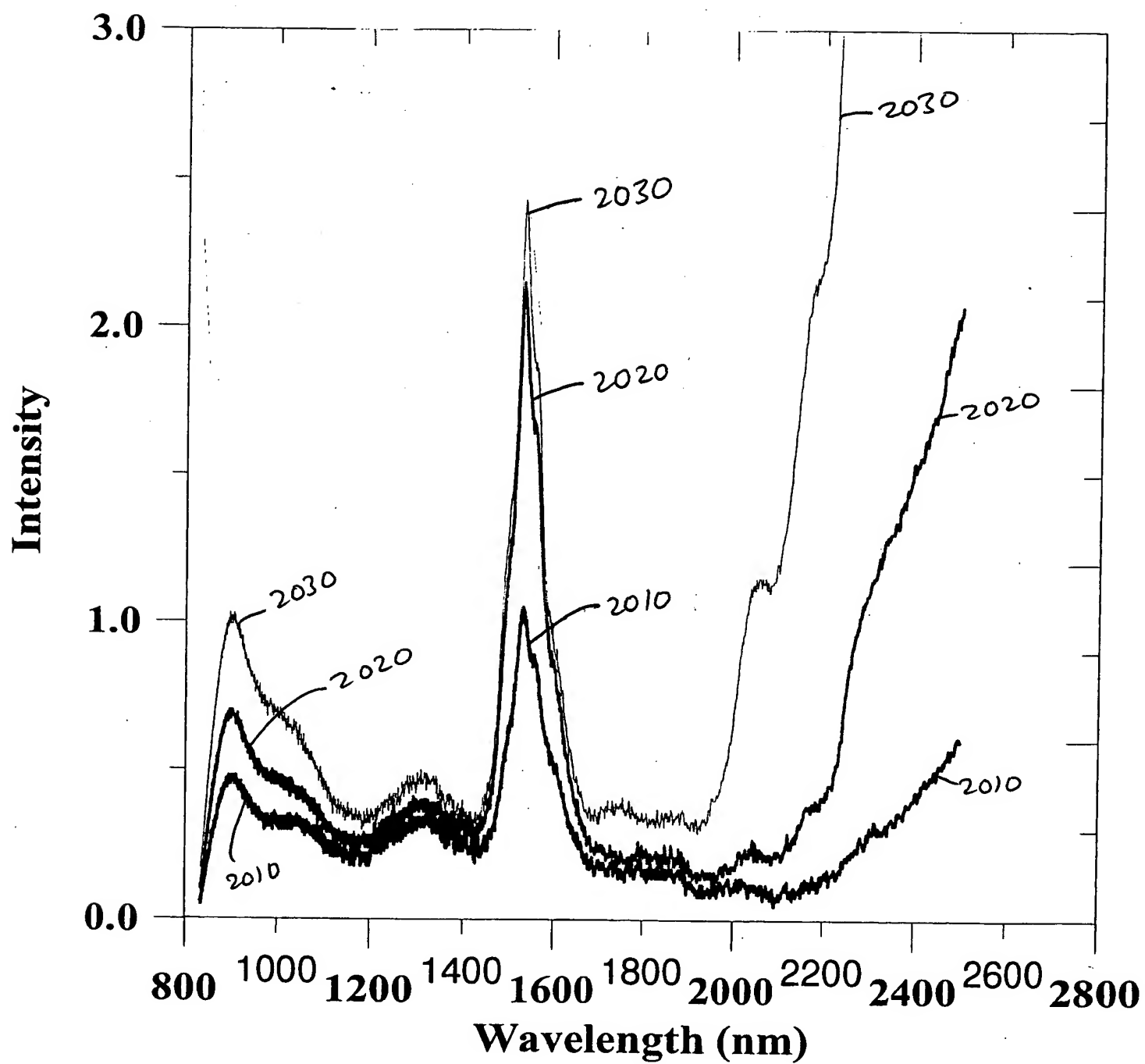


FIG. 21

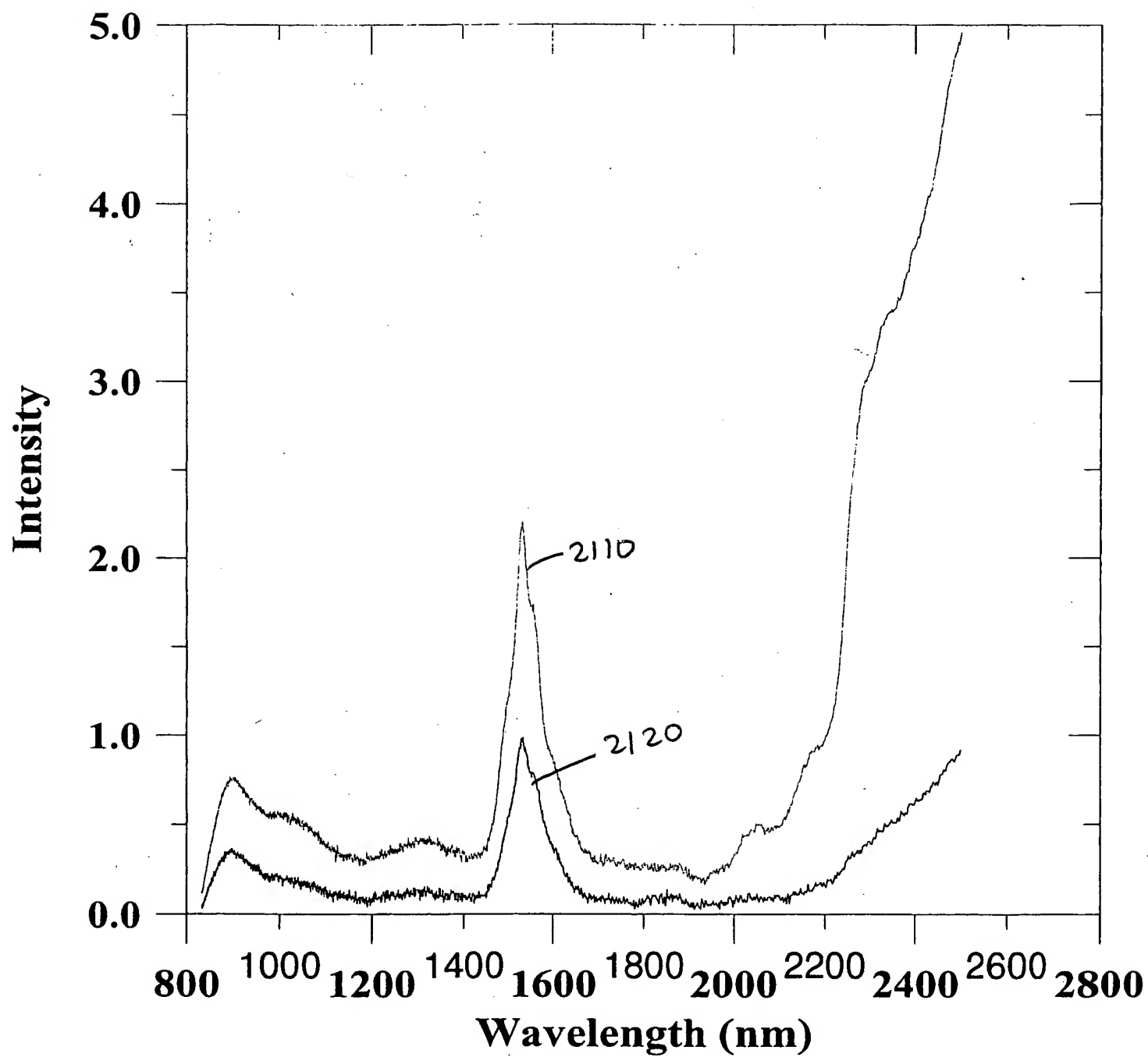


FIG. 22

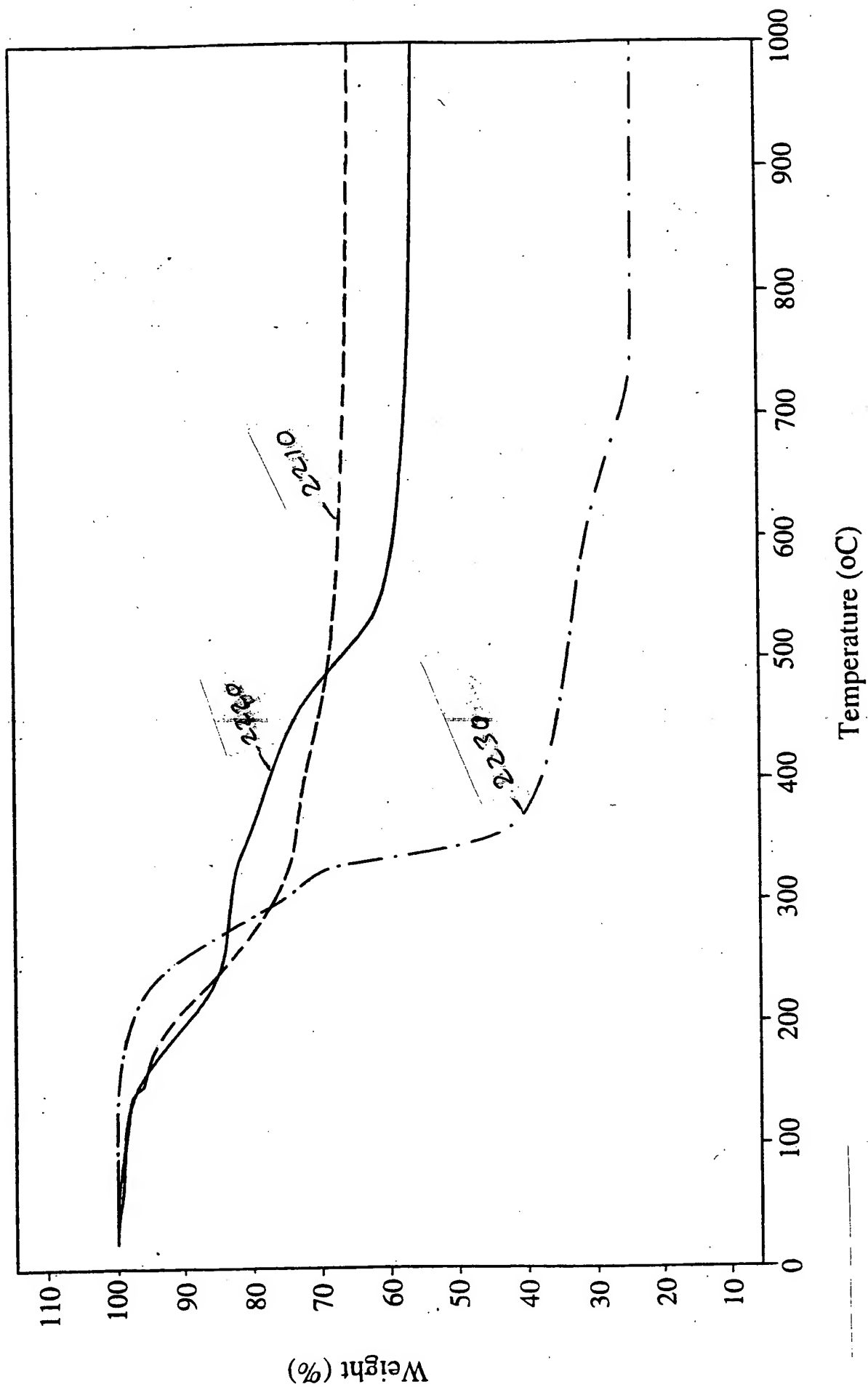


FIG. 23

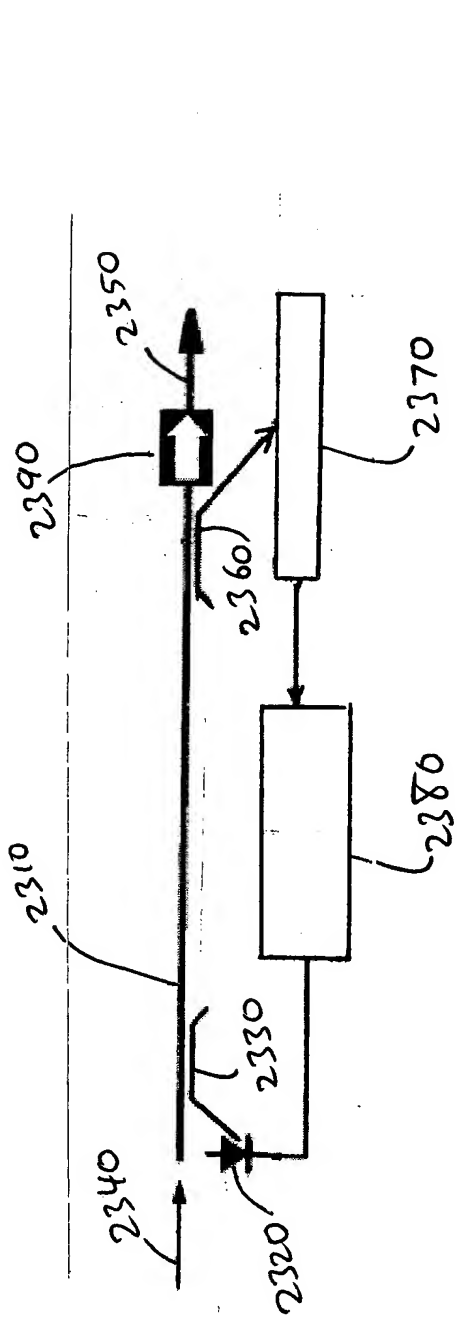


FIG. 24

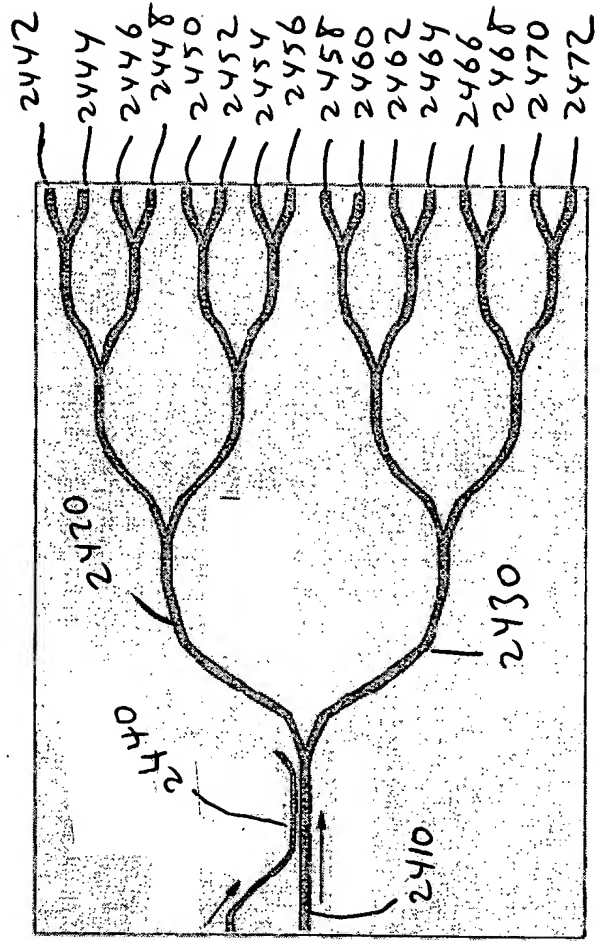


FIG. 25

2500 ↙

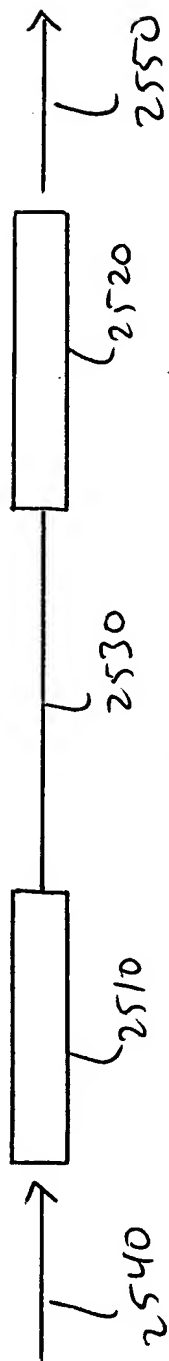


FIG. 26

2600 ↙

